

* تخمین شوک حرارتی در مسائل انتقال حرارت معکوس با استفاده از روش فیلتر کالمون

محمد رضا سلیمپور^(۲)

احمد صداقت^(۱)

مهند مولوی^(۱)

چکیده در مقاله حاضر تخمین شوک حرارتی در پروفیل شار حرارتی با داشتن توزیع دما به کمک فیلتر کالمون صورت پذیرفته است. برای این کار، ابتدا با محاسبه توزیع دما و اعمال نویز به صورت مصنوعی سعی می‌شود تا به شرایط آزمایشگاهی اندازه‌گیری دما نزدیک شد. در ادامه با استفاده از روش فیلتر کالمون، به بررسی تخمین آنی شار حرارتی پرداخته می‌شود که به صورت شوک حرارتی در مسئله مورد نظر ظاهر می‌شود. نتایج به دست آمده نشان می‌دهد که روش حاضر قادر است با دقت قابل قبول جهش شار حرارتی را تخمین بزند.

واژه‌های کلیدی مسئله انتقال حرارت معکوس، تخمین شار حرارتی، روش تخمین آنی، روش فیلتر کالمون.

Estimation of Heat Shocks in Inverse Heat Transfer Problems using Kalman Filtering

M. Molavi A. Sedaghat M.R. Salimpour

Abstract In this paper, the heat shocks in the heat flux profile are estimated with known temperature distribution using Kalman filtering. For this task, the temperature distribution is calculated and artificial noise is added to adequately simulate the real temperature measurements. Next by using Kalman filtering, estimation of online heat flux is assessed which appears as heat shocks in the discussed problem. Results indicate that the present method can accurately estimate jumps in the heat flux.

Key Words Inverse Heat Transfer Problem, Estimation of Heat Flux, Online Estimation Method, Kalman Filtering

*تاریخ دریافت مقاله ۹۲/۷/۱۶ و تاریخ پذیرش آن ۹۳/۸/۴ می‌باشد.

(۱) کارشناس ارشد، دانشکده مهندسی مکانیک، دانشگاه صنعتی اصفهان.

(۲) نویسنده مسئول، استادیار، دانشکده مهندسی مکانیک، دانشگاه صنعتی اصفهان. sedaghat@cc.iut.ac.ir

(۳) دانشیار، دانشکده مهندسی مکانیک، دانشگاه صنعتی اصفهان.

مقدمه

اندازه‌گیری همراه می‌باشد و این خطاهای ممکن است موجب ناپایدار شدن مسئله معکوس انتقال حرارت بشوند. مسائل انتقال حرارت معکوس شرط وجود جواب را برآورده می‌کنند، زیرا برای مثال در صورتی که تغییری در دماهای اندازه‌گیری شده برای یک جسم ایجاد شود، یک دلیل فیزیکی که همان شار حرارتی سطحی اعمال شده به جسم می‌باشد، وجود دارد. شرط یکتایی جواب را نیز می‌توان مانند مراجع [4, 5] اثبات کرد. اما مسائل معکوس حرارتی به خطاهای اندازه‌گیری حساس می‌باشند؛ درنتیجه برای بررسی وضعیت مسائل انتقال حرارت معکوس تنها باید این شرط را بررسی کرد.

شروع تحقیقات در زمینه انتقال حرارت معکوس سال ۱۹۵۶ بوده است. یکی از نخستین مقالات در این زمینه توسط استولر [6] در سال (۱۹۶۰) انتشار یافت. در این مقاله، نحوه محاسبه نرخ انتقال حرارت در مورد اجسامی با شکل‌های ساده در فرآیند آبدھی بررسی شده است. میرسپاسی [7] در سال ۱۹۵۹ این کار را با روشی مشابه برای اجسام نیمه بینهایت با استفاده از روش‌های عددی و گرافیکی انجام داد. یکی دیگر از اولین مقالات در زمینه انتقال حرارت معکوس مقاله‌ای روسی توسط شوماخوف [8] می‌باشد که در سال ۱۹۵۷ به انگلیسی ترجمه شد. روش‌های انتقال حرارت معکوس به طور کلی در دو دسته قرار می‌گیرند: روش‌های تخمین آنی و روش‌های تخمین غیرآنی. روش تخمین متوالی تابع و روش فیلتر کالمون دو روش مهم در تخمین آنی می‌باشند. روش تخمین متوالی تابع از حدس توابع متوالی در زمان‌های آینده برای تخمین شار حرارتی استفاده می‌کند [9]. روش فیلتر کالمون نوعی روش تخمین متوالی است که به صورت پی در پی شار حرارتی را با الگوریتم خود در یک مرحله و به صورت آنی تخمین می‌زند [10]. این تکنیک یک روش بازگشتی است که با استفاده از ورودی داده‌های نویزدار، تابع (شار حرارتی) یا پارامتر

مسائل انتقال حرارت معمولاً به دو دسته مسائل انتقال حرارت مستقیم (DHCP) و مسائل انتقال حرارت معکوس (IHCP) تقسیم می‌شوند. مسائل هدایت حرارت مستقیم به مسائلی اطلاق می‌شود که در آنها هندسه، شرایط مرزی، شرایط اولیه، خواص ترموفیزیکی و همچنین موقعیت و قدرت جمله‌های منبع در صورت وجود، معلوم باشد و هدف آن محاسبه توزیع دما در داخل ناحیه مورد بررسی با استفاده از حل معادلات حاکم باشد. معادلات حاکم نیز با مدل‌سازی پدیده‌های فیزیکی به کمک روابط ریاضی که معمولاً به صورت یک سری معادلات دیفرانسیل و یا روابط انتگرالی می‌باشند، به دست می‌آیند. مسائل هدایت حرارت مستقیم جزو مسائل خوش‌رفتار طبقه‌بندی می‌شوند. مسائل خوش‌رفتار که نخستین بار توسط هادامرد [1]، معرفی شدند به مسائلی اطلاق می‌شود که سه شرط وجود جواب، یکتایی جواب و پایداری نسبت به داده‌های ورودی را برآورده کنند [2-5]. در این گونه مسائل با حل معادلات حاکم می‌توان به توزیع دما در ناحیه مورد نظر رسید. روش‌های حل مسائل مستقیم از سال‌ها پیش توسعه یافته‌اند.

مسائل هدایت حرارت معکوس به مسائلی اطلاق می‌شود که حداقل یکی از معلومات مسئله مستقیم مجهول باشد و باید تخمین زده شود و در عوض دمای برخی نقاط و یا شار حرارتی در داخل یا روی مرز ناحیه مورد نظر از طریق اندازه‌گیری معلوم باشد. این نوع مسائل را می‌توان به یافتن علت از طریق اندازه‌گیری معلول بیان کرد. از مزایای روش‌های معکوس انتقال حرارت این است که در این روش نیاز به تحلیل میدان جریان اطراف جسم نیست زیرا با استفاده از حسگرهایی که در جسم کار گذاشته می‌شود دما اندازه‌گیری می‌شود. مقادیر تجربی معمولاً با خطای

استفاده از روش فیلتر کالمن انجام شده است که از این روش برای پیشگویی تغییرات ضخامت و تخمین شار حرارتی در حالت عملکردی راکتورها استفاده شد که در این جا مرز مانیز متحرک است و بر حسب تغییرات دمایی که در مرز ما به وجود می‌آید سطح ما حرکت می‌کند [16]. (در مقاله جاری مرز متحرک بر اثر فرآیند فداشوندگی به وجود می‌آید که ناشی از تغییرات دما و فشار می‌باشد).

روش فیلتر کالمن با غلبه بر این مشکل باعث کاهش زمان محاسبات می‌شود و همچنین در نقاطی از مسئله که محاسبه آنی شار حرارتی مورد نیاز است به کار می‌رود. در بخش دوم این مقاله معادلات حاکم بر مسئله و حل با استفاده از روش مستقیم تشریح می‌شود. سپس در بخش سوم روش معکوس ارائه و روش فیلتر کالمن تشریح می‌شود. در بخش چهارم بررسی و تشریح نتایج ارائه می‌شود و در بخش پنجم به نتیجه‌گیری پرداخته می‌شود.

مسئله مستقیم

فیزیک مسئله در نظر گرفته شده شامل یک صفحه یک بعدی با طول L ، دمای اولیه (x_0, T_0) و شار حرارتی (t, q) در مختصات $x=0$ به آن وارد می‌شود. در $x=L$ میله در راستای طول عایق می‌باشد. جنس صفحه از مس می‌باشد. فرمول بنده ریاضی برای مسئله به صورت زیر ارائه می‌شود:

$$\frac{\partial T}{\partial t} = \alpha \frac{\partial^2 T}{\partial x^2}, \quad 0 \leq x \leq L(t) \quad (1)$$

$$-\kappa \frac{\partial T}{\partial x} = q(t), \quad x = 0 \quad (2)$$

$$\frac{\partial T}{\partial x} = 0, \quad x = L(t) \quad (3)$$

$$T(x, 0) = T_0, \quad 0 \leq x \leq L \quad (4)$$

معادله (1) به صورت زیر گسسته‌سازی می‌شود:

دلخواه را تخمین می‌زند [11]. در روش‌های غیرآنی از تمامی دماهای اندازه‌گیری شده برای تخمین تابع (شار حرارتی) استفاده می‌شود. این روش‌ها از فرآیند تکرار برای به دست آوردن جواب مسئله استفاده می‌کنند، لذا نیاز به حدس اولیه دارند. روش‌های گرادیانی با استفاده از گرادیان تابع هدف قادر هستند که فرآیند تکرار را به صورت اتوماتیک به انجام برسانند. روش‌های گرادیانی بیشترین کاربرد را در میان روش‌های غیرآنی برای تخمین تابع (شار حرارتی) و پارامتر دارا می‌باشند. روش‌های گوس- نیوتون ، بوکس - کانماسو ، لونبرگ- مارکوارت، گرادیان مزدوج و شبه نیوتونی جزء روش‌های گرادیانی به شمار می‌آیند. تخمین بسیاری از مسائل از جمله شارحرارتی با استفاده از سه روش اول توصیه نمی‌شود. در این بین روش گرادیان مزدوج و شبه نیوتونی بیشترین کاربرد را برای تخمین تابع (شارحرارتی) دارند. روش گرادیان مزدوج به دلیل پیدا کردن سریع بردار گرادیان مناسب در میان الگوریتم‌های معکوس انتقال حرارت بیشتر مورد استفاده قرار می‌گیرد [12].

تابع هدف برای این مسائل از تفاضل بین دمای اندازه‌گیری شده و نتایج به دست آمده حاصل از الگوریتم محاسباتی می‌باشد. در میان روش‌های غیرآنی برای حل چنین مسائلی روش‌های گرادیانی بیشتر استفاده شده است. روش‌های گوس- نیوتون، بوکس- کانماسو، لونبرگ- مارکوارت، گرادیان مزدوج و شبه نیوتونی جزو روش‌های گرادیانی به شمار می‌آیند.

از معایب استفاده از روش‌های گرادیانی نسبت به روش‌های تخمین آنی در مرز متحرک به زمان بر بودن محاسبات می‌توان اشاره کرد که علت آن این است که مسئله معکوس را نمی‌توان با معادله الحاقی کوبیل کرد .[13]

امروزه شاهد ارائه مقالات زیادی در زمینه انتقال حرارت معکوس هستیم که در مراجع [14-15] به آن اشاره شده است و کار جدیدی که در سال ۲۰۱۳ با

سازی شود. با در نظر گرفتن ماتریس حالت Ψ و η به صورت زیر:

$$\Psi = \begin{bmatrix} \frac{2\alpha\Delta t}{\Delta x^2} & 1 - \frac{2\alpha\Delta t}{\Delta x^2} & & & 0 \\ -\frac{\alpha\Delta t}{\Delta x^2} & \ddots & 1 - \frac{\alpha\Delta t}{\Delta x^2} & & \\ & \ddots & \ddots & \ddots & \\ & & -\frac{\alpha\Delta t}{\Delta x^2} & \ddots & 1 - \frac{\alpha\Delta t}{\Delta x^2} \\ 0 & & & 1 - \frac{2\alpha\Delta t}{\Delta x^2} & \frac{2\alpha\Delta t}{\Delta x^2} \end{bmatrix}$$

و

$$\eta = \begin{bmatrix} \frac{2\alpha\Delta t}{\kappa\Delta x} \\ 0 \\ \vdots \\ 0 \end{bmatrix}$$

معادله تخمین دما به صورت زیر به دست می‌آید:

$$T_k = \Psi T_{k+1} - \eta q(t) \quad (9)$$

که:

$$T_{k+1} = \varphi T_k + \Gamma q(t) \quad (10)$$

$\varphi = \Psi^{-1}$, $\Gamma = \Psi^{-1} \cdot \eta$

که Φ ماتریس انتقال حالت، Γ ماتریس ورودی و k اندیس زمانی می‌باشد. معادله منطبق بر اندازه‌گیری دما به صورت زیر ارائه می‌شود:

$$Z_k = H_k T_k + v_k \quad (11)$$

که H_k ماتریس اندازه‌گیری و یک سیگنال اخلاق‌گر است و از رابطه زیر تعیین می‌شود:

$$H_k = [1 \ 0 \ 0 \ \dots \ 0] \quad (12)$$

$$\frac{T_i^{n+1} - T_i^n}{\Delta t} = \alpha \frac{T_{i+1}^{n+1} - 2T_i^{n+1} + T_{i-1}^{n+1}}{\Delta x^2} \quad (5)$$

با جداسازی دمای جدید، ماتریس سه قطری برای حل به وسیله تکنیک فیلتر کالمون به صورت زیر به دست می‌آید:

$$\begin{aligned} \left(1 - \frac{\alpha\Delta t}{\Delta x^2}\right) T_{i+1}^{n+1} + \frac{2\alpha\Delta t}{\Delta x^2} T_i^{n+1} \\ - \frac{\alpha\Delta t}{\Delta x^2} T_{i-1}^{n+1} = T_i^n \end{aligned} \quad (6)$$

با اعمال شرط مرزی شار حرارتی معادله (6) به صورت زیر به دست می‌آید:

$$\begin{aligned} \left(1 - \frac{2\alpha\Delta t}{\Delta x^2}\right) T_{i+1}^{n+1} + \frac{2\alpha\Delta t}{\Delta x^2} T_i^{n+1} \\ = \frac{2\alpha\Delta t}{\kappa\Delta x} q(t) + T_i^n \end{aligned} \quad (7)$$

و با اعمال شرط مرزی عایق بودن در معادله (6) داریم:

$$\frac{2\alpha\Delta t}{\Delta x^2} T_i^{n+1} + \left(1 - \frac{2\alpha\Delta t}{\Delta x^2}\right) T_{i-1}^{n+1} = T_i^n \quad (8)$$

که در قسمت حل به روش معکوس حرارتی شیوه تخمین توزیع دما توضیح داده می‌شود.

روش معکوس

در مسئله معکوس انتقال حرارت هدف تخمین شار حرارتی مجهول بر روی مرز متحرک است در حالی که دما از طریق اندازه‌گیری به وسیله ترموموپل در مرز جسم معلوم باشد. در اکثر حالت‌ها و اشکال مختلف فیلتر کالمون دو فرض اصلی وجود دارد که عبارتند از: مدل‌سازی خطی سیستم، فرض نویز گوسی. در فرض اول باید ابتدا معادلات غیرخطی با بردن به فضای حالت دینامیکی و تبدیل آن به حالت ماتریسی خطی-

می باشد.

روش تخمین شار حرارتی با استفاده از روش فیلتر کالمون شامل دو قسمت است: اول فیلتر کالمون بدون جمله ورودی و دیگری تخمین زدن مجذور مربعات بازگشتی. نتایج این روش به صورت زیر می باشد [17]:

$$\bar{T}_{k/k-1} = \phi_k \bar{T}_{k-1} \quad (15)$$

$$R_\epsilon = H_k P_{k/k-1} H_k^T + R \quad (16)$$

$$P_{k/k-1} = \phi_k P_{k-1} \phi_k^T + \Gamma_k Q \Gamma_k^T \quad (17)$$

$$K_k = P_{k/k-1} H_k^T R_\epsilon^{-1} \quad (18)$$

$$P_k = (I - K_k H_k) P_{k/k-1} \quad (19)$$

$$\bar{Z}_k = Z_k - H_k \bar{T}_{k/k-1} \quad (20)$$

$$\bar{T}_k = \bar{T}_{k/k-1} + K_k \bar{Z}_k \quad (21)$$

معادلات (۱۵-۲۱) برای به دست آوردن دما و اختلاف بین دمای اندازه گیری و دمای فیلتر شده بدون در نظر گرفتن ورودی (شار حرارتی) به کار می رود. K بهره کالمون است که یک کترلگر به شمار می آید و با توجه به سایر پارامترها تعیین می شود.

معادلات برای تخمین زدن مجذور مربعات بازگشتی به صورت زیر است:

$$B_k = H_k (\phi_k M_{k-1} + I) \Gamma_k \quad (22)$$

$$M_k = (I - K_k H_k) (\phi_k M_{k-1} + I) \quad (23)$$

$$K b_k = \gamma^{-1} P b_{k-1} B_k^T \times (B_k \gamma^{-1} P b_{k-1} B_k^T + R_\epsilon)^{-1} \quad (24)$$

$$P b_k = (I - K b_k B_k) \gamma^{-1} P b_{k-1} \quad (25)$$

$$\hat{q}_k = \hat{q}_{k-1} + K b_k (\bar{Z}_k - B_k \hat{q}_{k-1}) \quad (26)$$

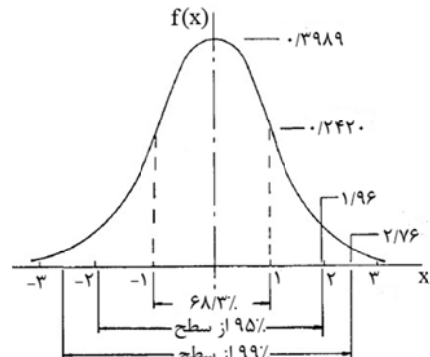
که در جایی که حسگر دما را اندازه گیری می کند مقدار H برابر با یک است و در بقیه مکان ها صفر می باشد. Z_k بردار مشاهده در زمان k می باشد، و u_k بردار نویز با فرض میانگین صفر و نویز گوسی سفید با واریانس $E\{u_k u_j^T\} = R \delta_{kj}$ می باشد که R واریانس اغتشاش است و δ_{kj} عملگر دلتای کرونکر می باشد. مقدار u_k از رابطه زیر به دست می آید:

$$v_k = \omega_k \sigma \quad (13)$$

خطاهای اندازه گیری نیز دارای توزیع نرمال (گوسی) می باشند.تابع توزیع احتمال برای ϵ_i به صورت زیر می باشد:

$$f(\epsilon_i) = \frac{1}{\sigma \sqrt{2\pi}} \exp\left(-\frac{\epsilon_i^2}{2\sigma^2}\right) \quad (14)$$

که ϵ_i خطای اندازه گیری می باشد که یک عدد تصادفی است.



شکل ۱ تابع چگالی نرمال استاندارد

در شکل (۱) تابع چگالی نرمال استاندارد ایجاد شده براساس تابع فوق نشان داده شده است. با توجه به این شکل σ اعداد تصادفی تولید شده می باشد که آن در بازه $2/\sigma$ تا $-2/\sigma$ قرار خواهد داشت و 99.73% از سطح از سطح 95.45% از سطح 68.27% از سطح

به صورت زیر می باشد:

گام زمانی ($\Delta t=0.008$ s)، ضخامت صفحه مس ($L=0.5$ cm)، گام مکانی ($\Delta x=0.005$ cm)، ضریب نفوذ حرارت ($\alpha=0.1804$ cm². s⁻¹)، ضریب هدایت حرارت ($\kappa=0.145696$ cal.cm⁻¹.s⁻¹.°C)

با ایاس ناشی از انحراف شار حرارتی دقیق (q_k) و شار حرارتی تخمین زده شده (\hat{q}_k) به صورت زیر تعریف می شود:

$$\text{Bias} = \left[\frac{1}{n} \sum_{k=1}^n (q_k - \hat{q}_k)^2 \right]^{\frac{1}{2}} \quad (29)$$

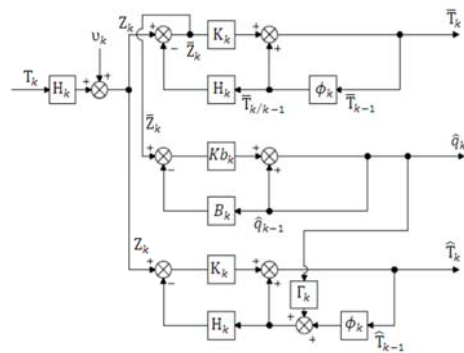
در این الگوریتم مقدار چهار پارامتر Q , γ , Q و Pb_0 در جواب \hat{q}_k تأثیرگذار است.

Pb_0 مقدار اولیه کوواریانس خطای الگوریتم تخمین زدن مجدد مربعات بازگشتی است که هر چه بزرگتر باشد اختشاشات جواب \hat{q} در لحظات اولیه زیاد خواهد بود و مدت زمانی طول می کشد تا الگوریتم، این اختشاشات را از بین برد. همچنین هرچه مقدار Pb_0 به صفر نزدیکتر باشد مقدار Kb_k در لحظات اولیه کوچک شده و اثر تغییرات دما در الگوریتم فیلتر کالمون تأثیر کمی بر مقدار \hat{q}_k خواهد داشت و جواب از مقدار واقعی فاصله می گیرد. مقدار Pb_0 در این مقاله 10^{-5} در نظر گرفته شده است.

با افزایش مقدار Q مقدار اختشاش در تخمین شار حرارتی افزایش می یابد. در شکل (۳) شار حرارتی تخمین زده با روش فیلتر کالمون مشاهده می شود، همان‌طور که می‌بینیم در لحظه‌ای که شوک ناگهانی حرارتی به جسم وارد می شود الگوریتم در تخمین نقطه ماکریم مقدار کمی خطای دارد، با نتیجه‌گیری از شکل (۴) که در آن مقدار کوواریانس را افزایش دادیم الگوریتم به خوبی نقطه ماکریم پروفیل شار حرارتی را تخمین می‌زند اما مقدار اختشاشات وارد بر جواب افزایش می یابد که باعث افزایش با ایاس می شود.

$$\hat{T}_k = \bar{T}_k + M_k \Gamma_k \hat{q}_k \quad (27)$$

در شکل (۲) نیز نمودار بلوکی این روش مشاهده می شود:



شکل ۲ نمودار بلوکی الگوریتم فیلتر کالمون

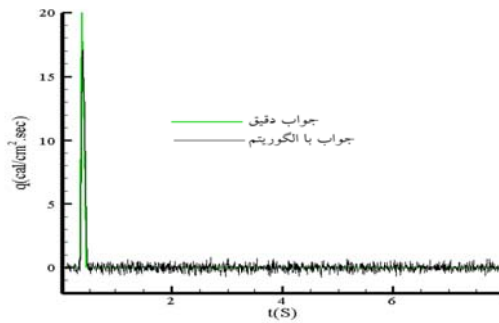
بررسی و تشریح نتایج

برای تخمین شار حرارتی از یک حسگر در مرزی که شار حرارتی به جسم وارد می شود برای اندازه‌گیری دما استفاده شده است. پروفیل شار حرارتی با استفاده از رابطه زیر تعیین می شود:

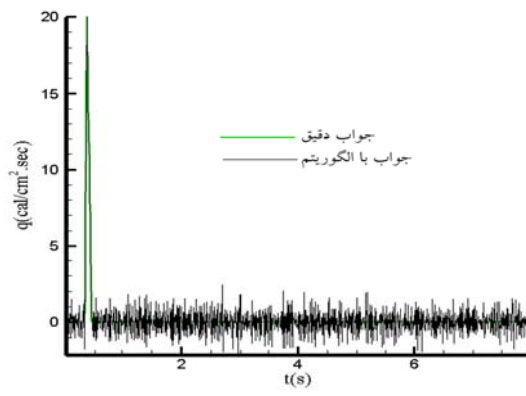
$$q(t) = \begin{cases} 0 & , 0 \leq t < 0.32 \text{ or } 0.44 \leq t \leq t_f \\ 20 * (t - 0.32) / 0.04 & , 0.32 \leq t < 0.36 \\ 20 * (1 - (t - 0.36)) / 0.08 & , 0.36 \leq t < 0.44 \end{cases} \quad (28)$$

که با استفاده از پروفیل شار حرارتی، دما به صورت مستقیم و از معادله (۱۰) به دست می آید. سپس برای نزدیک شدن به شرایط آزمایشگاهی، از معادله نویز مصنوعی به دما اضافه کرده با استفاده از روش فیلتر کالمون شار حرارتی به صورت معکوس تخمین زده می شود.

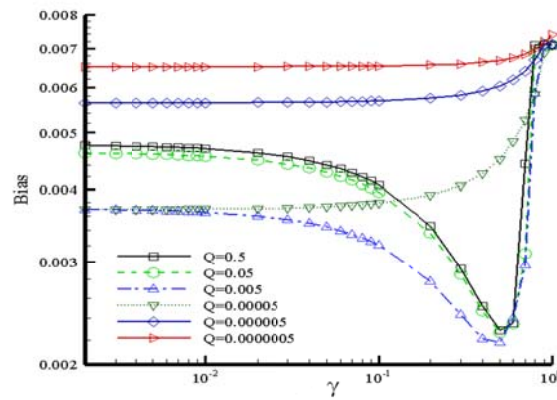
شرط شرایط شبیه‌سازی و پارامترهای معلوم در این ماده



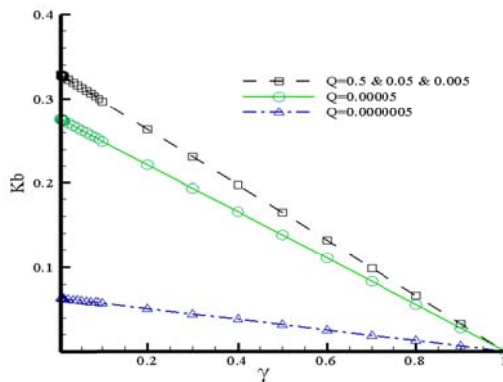
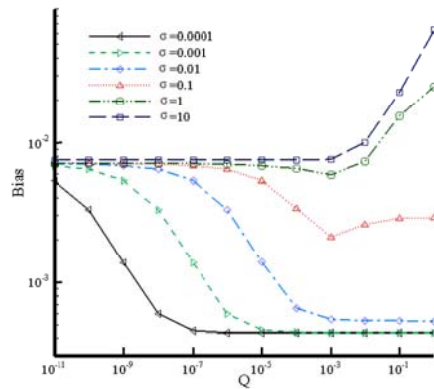
شکل ۳ نمودار تخمین شار حرارتی بر حسب زمان با $Q=0.001$, $\sigma=0.1$, $\gamma=0.5$ و $\sigma=0.001$



شکل ۴ نمودار تخمین شار حرارتی بر حسب زمان با $Q=0.05$, $\sigma=0.1$, $\gamma=0.5$ و $\sigma=0.05$



شکل ۵ تغییرات بایاس بر حسب فاکتور فراموشی و کوواریانس‌های مختلف با $\sigma=0.1$

شکل ۶ تغییرات بهره کالمن بر حسب فاکتور فراموشی و کواریانس‌های مختلف با $\sigma=0.1$ شکل ۷ تغییرات بایاس بر حسب کواریانس و انحراف استانداردهای مختلف با $\sigma=0.1$

فراموشی برای کواریانس‌های مختلف نمایش داده شده است. با افزایش بهره کالمن پهنای باند زیاد می‌شود و این افزایش باعث افزایش دامنه اغتشاشات می‌گردد، هم‌چنین بهره کالمن رابطه معکوس با فاکتور فراموشی دارد که با توجه به این شکل و در نظر گرفتن فاکتور فراموشی بهینه از شکل (۶) بهره کالمن در $0/17$ اتفاق می‌افتد.

شکل (۷) تغییرات بایاس شار حرارتی را بر حسب انحراف استاندارد و کواریانس دمای اندازه‌گیری شده مختلف نشان می‌دهد. همان‌طور که مشاهده می‌شود کواریانس و واریانس ($R=\sigma^2$) اغتشاشات دمای اندازه‌گیری شده به هم وابسته می‌باشند، پارامتر Q

در شکل (۵) نمودار فاکتور فراموشی بر حسب کواریانس‌های مختلف نشان داده شده است. نکات مهم در مورد این نمودار این است که بایاس کمینه در $Q = 0.005$ اتفاق می‌افتد و در استفاده از مقادیر دیگر کواریانس به جز نقاط خاص فاکتور فراموشی مقدار بایاس افزایش می‌یابد. هم‌چنین با دقت در این نمودار مقدار بایاس کمینه در کواریانس‌های $0/05$ و $0/005$ اتفاق می‌افتد. هم‌چنین فاکتور فراموشی مناسب نزدیک عدد 0.5 اتفاق می‌افتد، پس هر مقدار فاکتور فراموشی را نمی‌توان به صورت تصادفی انتخاب کرد و باید با توجه به پارامترهای دیگر تعیین شود.

در شکل (۶) تغییرات بهره کالمن بر حسب فاکتور

فهرست نمادها و نشانه‌ها

	نشانه‌های لاتین
B	ماتریس حساسیت
E	واریانس
H	ماتریس اندازه‌گیری
I	ماتریس واحد
K	بهره کالمن
Kb	بهره کالمن اصلاح شده
L	طول میله، (m)
M	ماتریس حساسیت
P	ماتریس خطای کواریانس فیلتر شده
Pb	ماتریس خطای کواریانس
Q	کواریانس
q	شار حرارتی دقیق، (W/cm^2)
R	واریانس دمای اندازه‌گیری
R_e	واریانس مازاد
T	دما، (K)
T_0	دماهی اولیه، (K)
t	زمان
Z	بردار مشاهده
X	متغیر مکان
Φ	ماتریس انتقال حالت
Γ	ماتریس ورودی
σ	انحراف استاندارد
γ	فاکتور فراموشی
κ	ضریب هدایت حرارتی، ($W/m.K$)
δ	عملگر دلتای کرونکر
بالانویس‌ها	
$^{\wedge}$	مقادیر تخمین زده شده با الگوریتم
-	مقادیر تخمین زده شده بدون شار حرارتی
زیرنویس‌ها	
k	اندیس زمانی

کواریانس اغتشاش ورودی در الگوریتم فیلتر کالمن است و اگر بسیار بزرگ انتخاب شود باعث افزایش اغتشاشات در جواب می‌گردد و اگر خیلی کوچک انتخاب شود باعث ایجاد تأخیر زمانی و عدم تخمین مناسب نقطه ماکزیمم شار حرارتی می‌گردد. از طرفی این پارامتر باید با توجه به واریانس اغتشاشات دمای اندازه‌گیری شده تعیین شود. پس با افزایش واریانس دما، مقدار کواریانس ورودی برای به دست آوردن بایاس بهینه باید افزایش یابد.

نتیجه‌گیری

در بخش قبل نشان داده شد که فیلتر کالمن روشی است که با استفاده از آن می‌توان شار حرارتی را به صورت آنی تخمین زد و با توجه به این موضوع می‌توان از این روش برای طراحی حسگرهای شارسنجه استفاده کرد. نکات مهم در استفاده از این روش عبارتند از:

۱. انتخاب منطقی پارامترهای σ و Q باعث کاهش بایاس می‌شود و مکانی که شوک حرارتی ایجاد می‌گردد به خوبی تخمین زده می‌شود.
۲. با افزایش کواریانس مقدار اغتشاشات زیاد و با کاهش آن مقدار اغتشاش کم می‌گردد و باعث می‌شود که الگوریتم در تخمین مکان شوک حرارتی ضعیف عمل کند. از طرفی این پارامتر باید با توجه به انحراف استاندارد تعیین شود که با افزایش انحراف استاندارد برای رسیدن به بایاس بهینه باید مقدار کواریانس افزایش یابد.
۳. مقدار فاکتور فراموشی بهینه با توجه به کواریانس و بایاس کمینه تعیین می‌شود.

تشکر و قدردانی

نویسندهای این اثر صمیمانه از راهنمایی‌ها و هم‌فکری‌های آقای مهندس حسین مولوی کمال تشکر و قدردانی را دارند.

مراجع

1. J. Hadamard, J., "Lectures on Cauchy's Problem in Linear Partial Differential Equations", Yale University Press, New Haven, CT, (1923).
2. Tikhonov, A.N., Arsenin, V.Y., "Solution of Ill-Posed Problem", Winston and Sons, Washington, DC, (1977).
3. Alifanov, O. M., "Solution of an Inverse Problem of Heat Conduction by Iteration Methods", *J. Eng. Phys.*, vol. 26, no. 4, pp. 471-475, (1974).
4. Alifanov, O.M., "Inverse Heat Transfer Problems", Springer-Verlag, New York, (1994).
5. Beck, J.V., Blackwell, B. and Clair, C.R.St., "Inverse Heat Conduction: Ill-Posed Problems", Wiley Interscience, New York, (1985).
6. Stoltz, G.Jr., "Numerical Solutions to an Inverse Problem of Heat Conduction for Simple Shapes", *Journal Heat Transfer*, 82, pp. 20-26, (1960).
7. Mirsepassi, T.J., "Heat-Transfer Charts for Time-Variable Boundary Conditions", *British Chemical Engineering*, 4, pp. 130-136, (1959).
8. Shumakov, N.V., "A Method for the Experimental Study of the Process of Heating a Solid Body", *Soviet Physics Technical Physics* (Translated by American Institute of Physics), 2, pp. 771-780, (1957).
9. Beck, J.V. and Arnold, K.J., "Parameter Estimation in Engineering and Science", Wiley: New York, (1977).
10. Kalman, R.E., "A New Approach to Linear Filtering and Prediction Problems", *ASME Journal of Basic Engineering*, 82, pp. 35-45, (1960).
11. Kalman, R.E. and Bucy, R.S., "New Results in Linear Filtering and Prediction Theory", *ASME Journal of Basic Engineering*, 83, pp. 95-108, (1961).
12. Molavi, H., Hakkaki-Fard, A., Rahmani, R.K., Ayasoufi, A. and Molavi, M., "A Novel Methodology for Combined Parameter and Function Estimation Problems", *ASME Journal of Heat Transfer*, 132, No. 12, p. 121301, (2010).
13. Molavi, H., Hakkaki-Fard, A., Molavi, M., Rahmani, R.K., Ayasoufi, A. and Noori. S., "Estimation of Boundary Conditions in the Presence of Unknown Moving Boundary Caused by Ablation", *International Journal of Heat and Mass Transfer*, 54, pp. 1030-1038, (2011).
14. Kowsari, F. and Nazari, M., "A Feasibility Study of Employing Sequential Function Specification Method for Estimation of Transient Heat Flux in a Non-Thermal Equilibrium Porous Channel", *Journal of Porous Media*, 14(5), (2010).
15. Nazari, M., Farahani, S. D. and Kowsary, F., "Comparison of the Mollification and Wavelet Prefiltering of Temperature Data in an Ill-Posed Inverse Heat Conduction Problem, Application: Nonthermal Equilibrium Porous Medium", *Heat Transfer Engineering*, 33(8), 704-711, (2012).
16. Lebreux, M., Desilets, M., Lacroix, M. "An unscented Kalman filter inverse heat transfer method for the prediction of the ledge thickness inside high- temperature metallurgical reactors", *International Journal of Heat and Mass Transfer*, 57, pp. 265-273, (2013).
17. Franklin, G.F., Powell, J.D. and Workman, M.I., "Digital Control of Dynamic Systems", 2nd ed. Addison Wesley, Reading, MA, (1990).